

FIG. 1

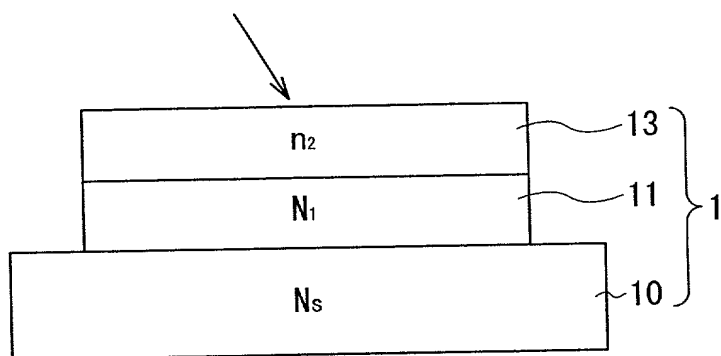


FIG. 2

09997574.070001

FIG. 3A

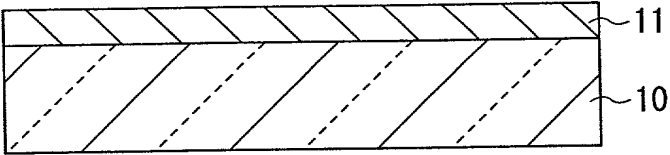


FIG. 3B

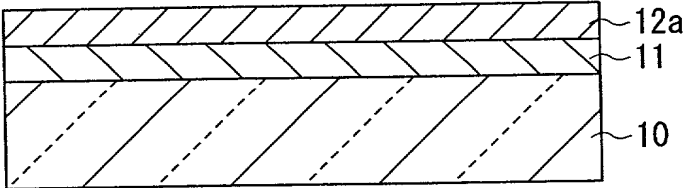


FIG. 3C

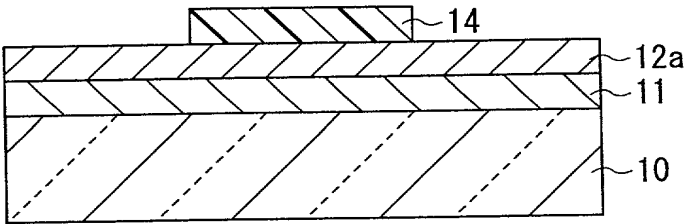


FIG. 3D

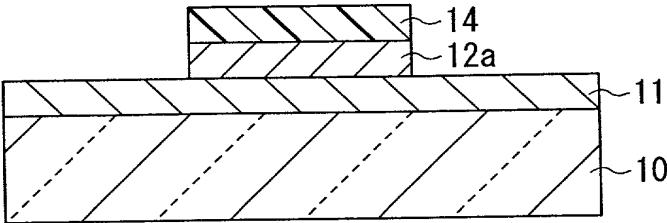


FIG. 4A

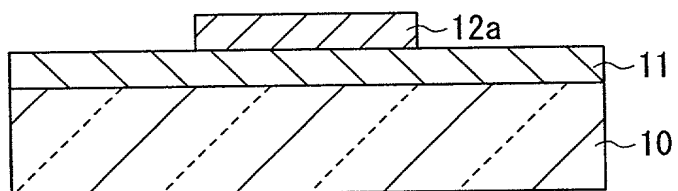


FIG. 4B

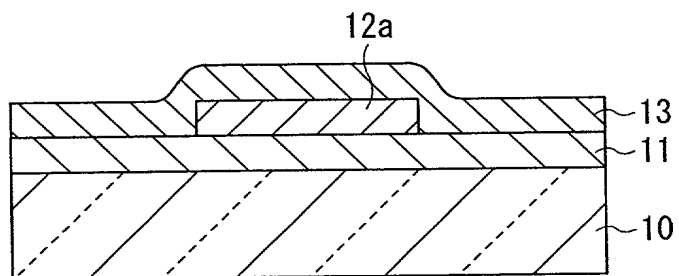


FIG. 4C

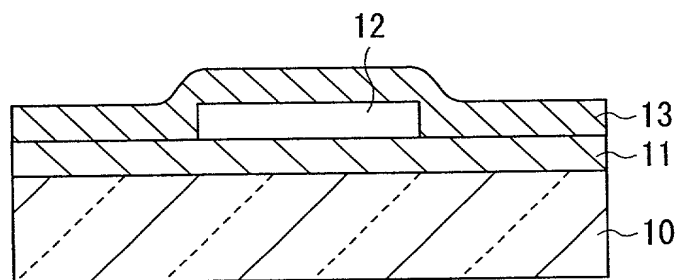
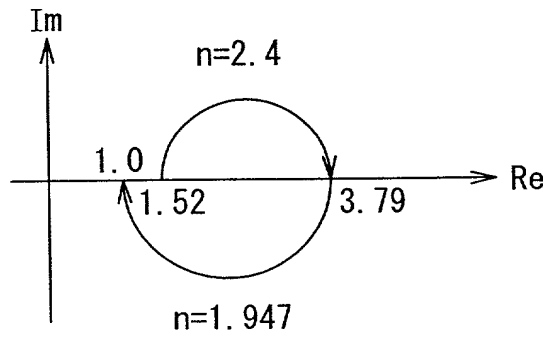


FIG. 5B



$$Y = \frac{n_i^2}{n_s} \left(\frac{\lambda}{4} \text{ law} \right)$$

FIG. 6A

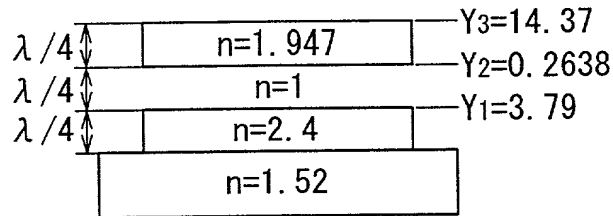
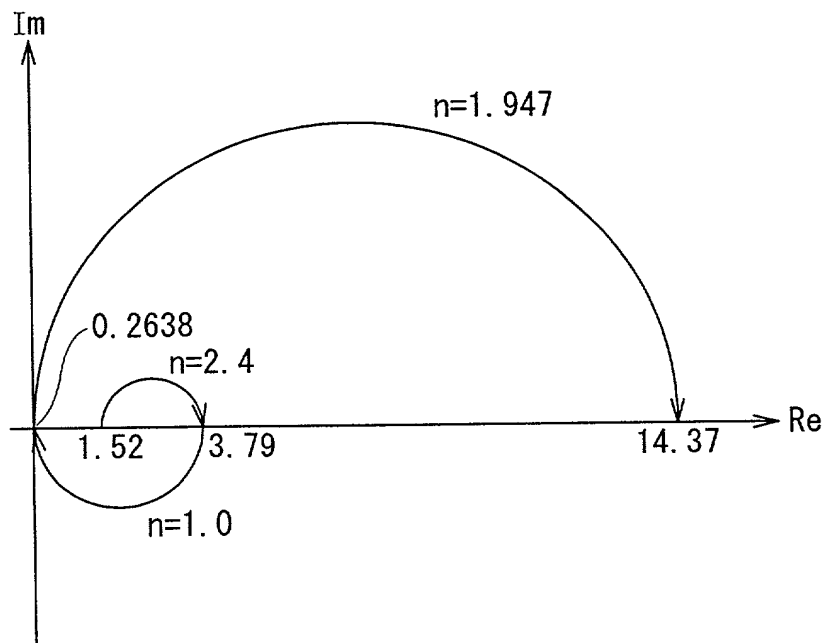


FIG. 6B



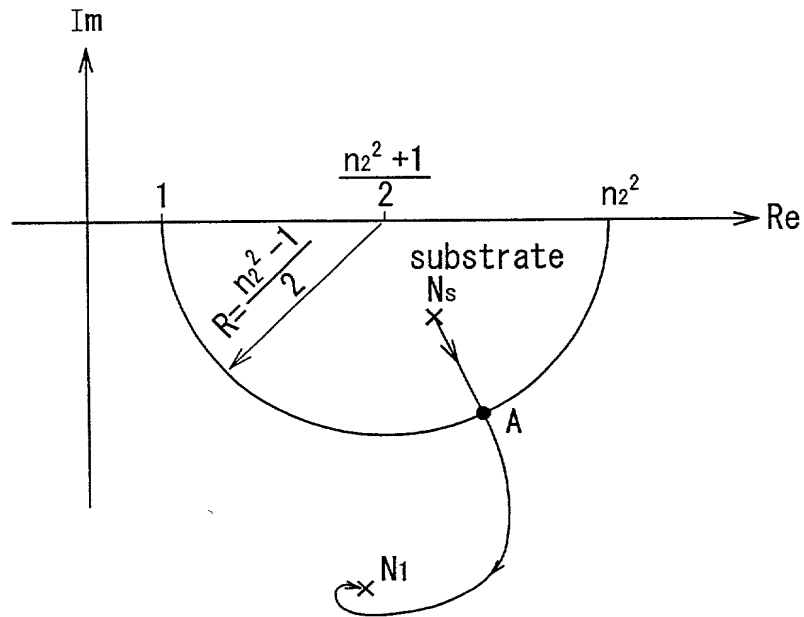


FIG. 7

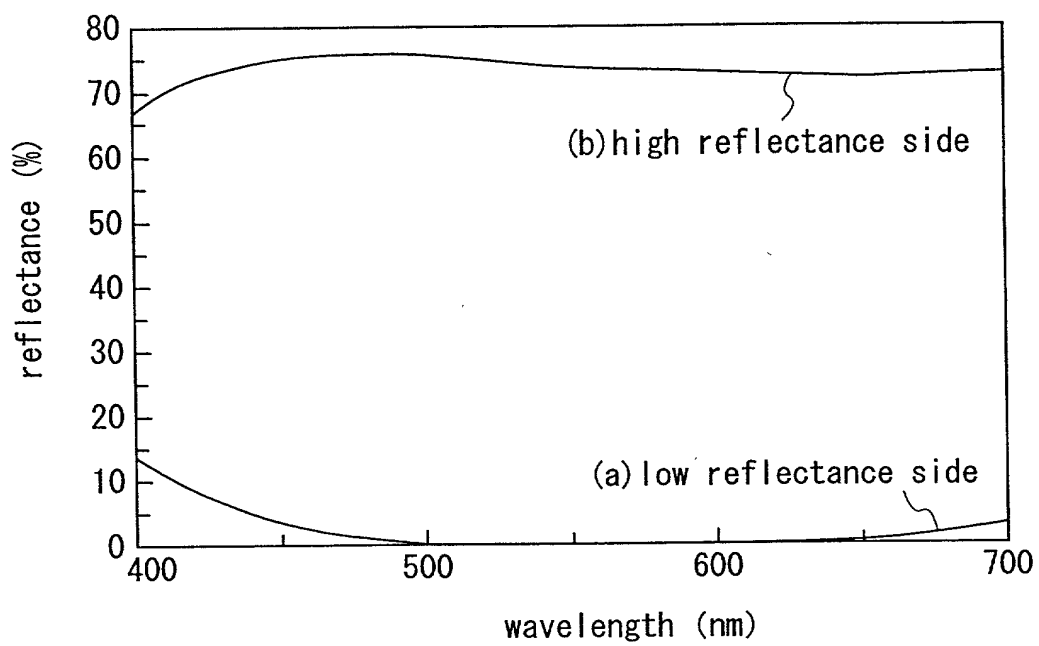


FIG. 8

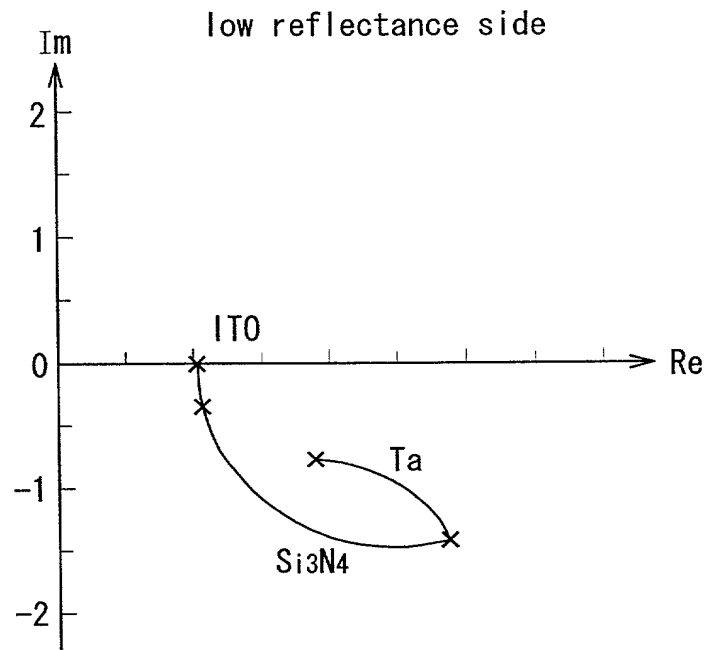


FIG. 9

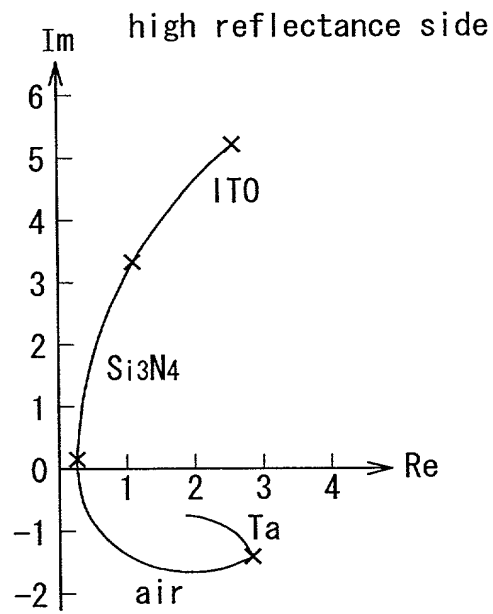


FIG. 10

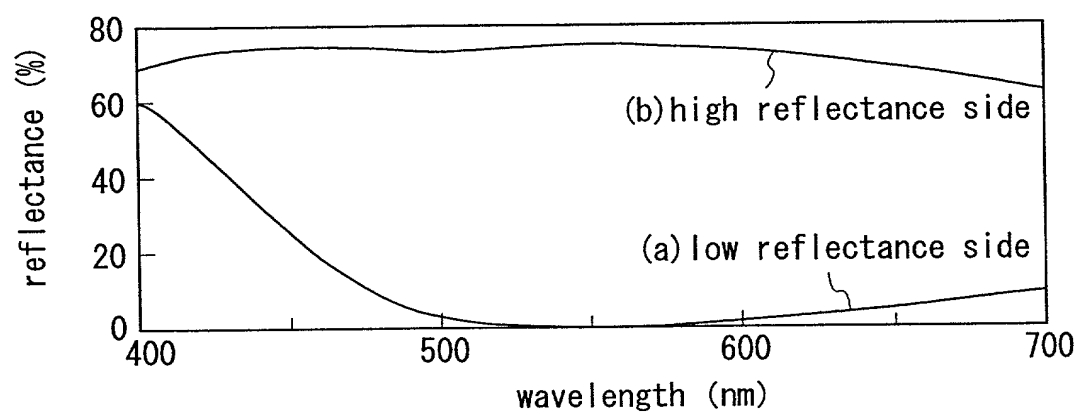


FIG. 11

low reflectance side

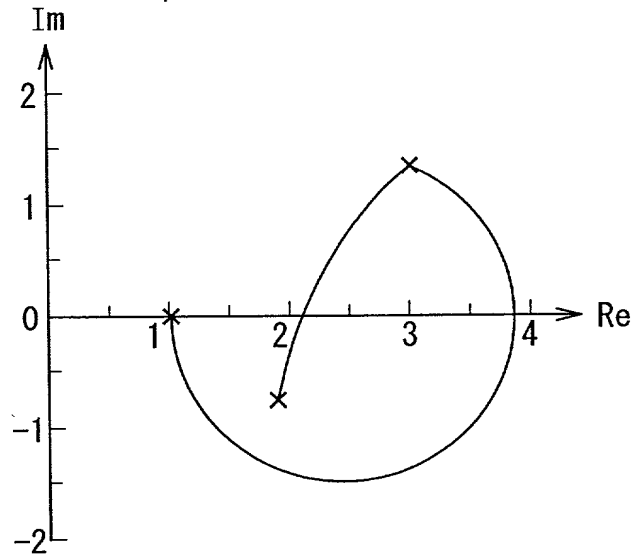


FIG. 12

high reflectance side

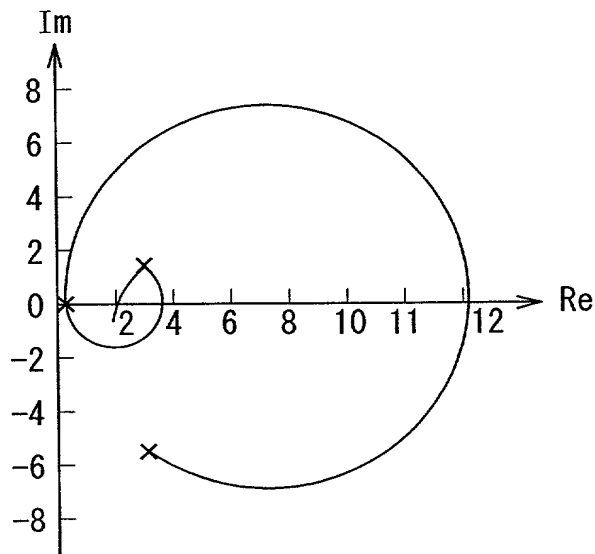


FIG. 13

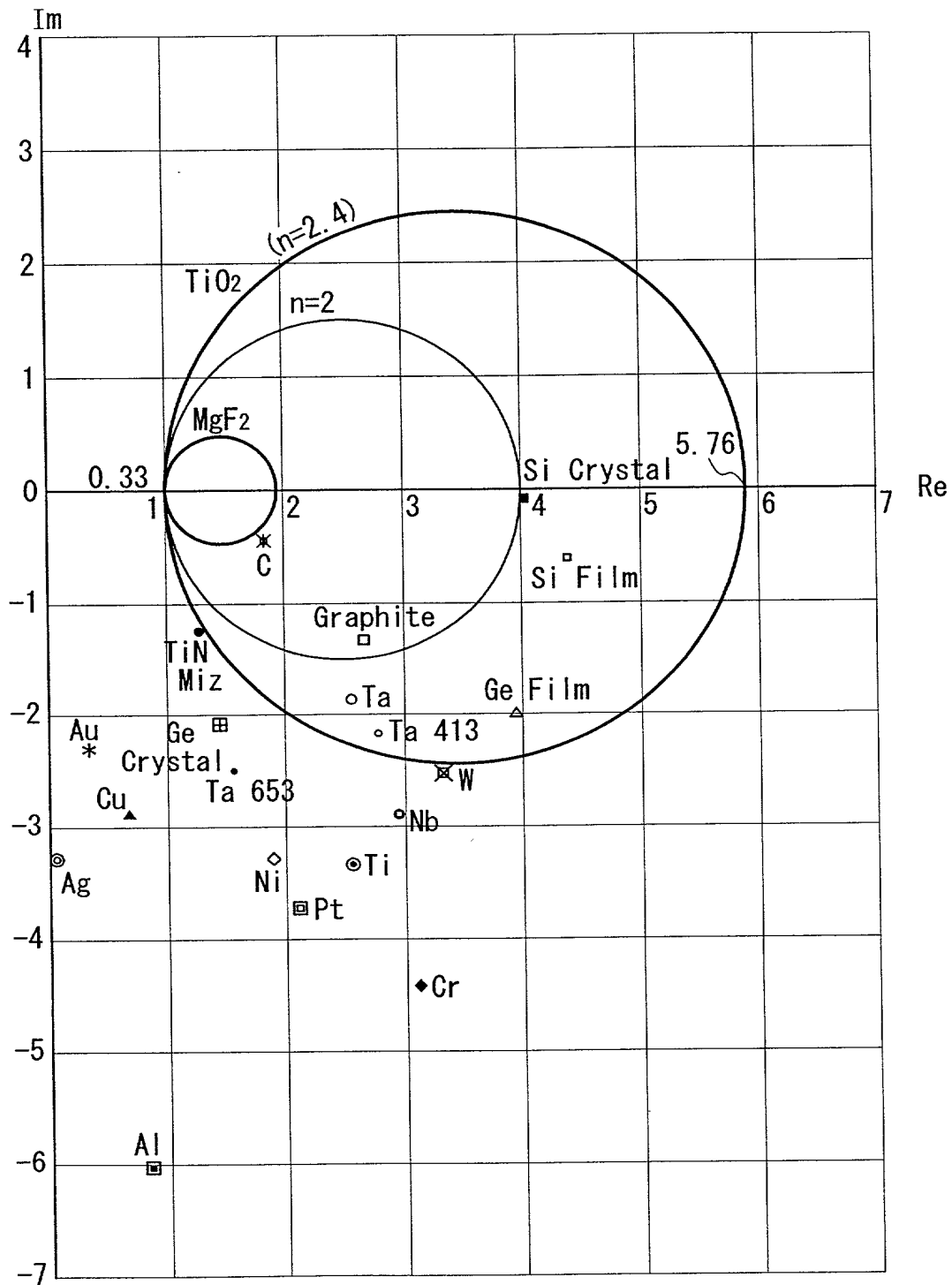


FIG. 14

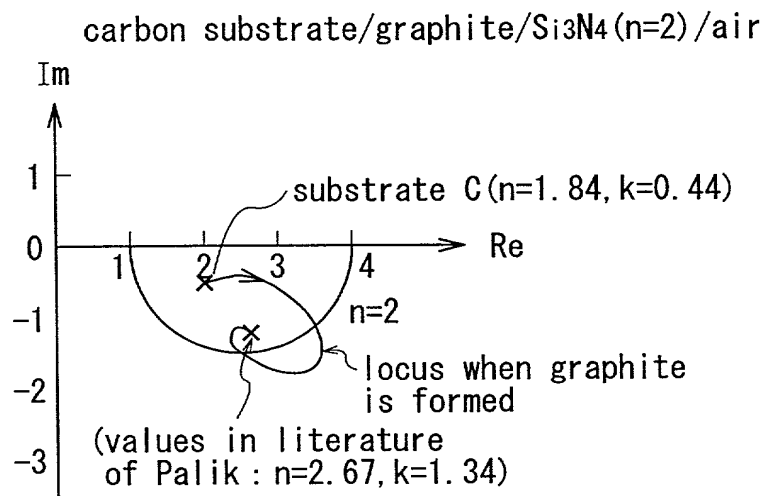


FIG. 15

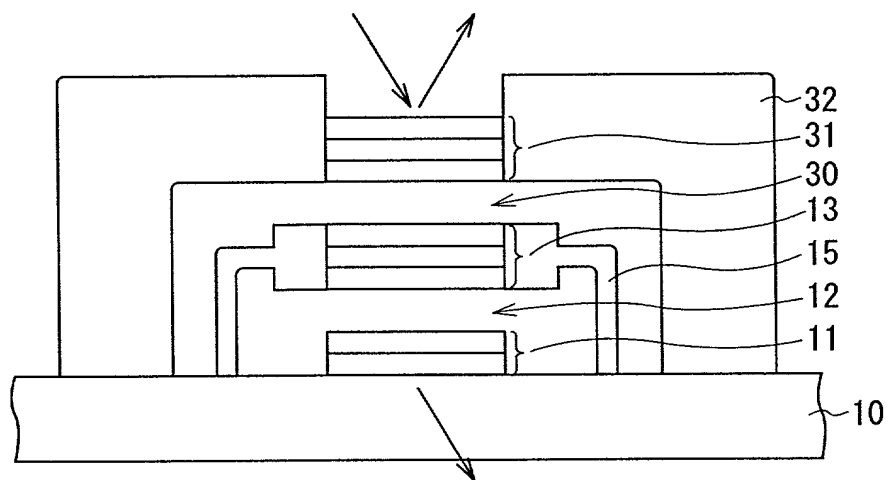


FIG. 16

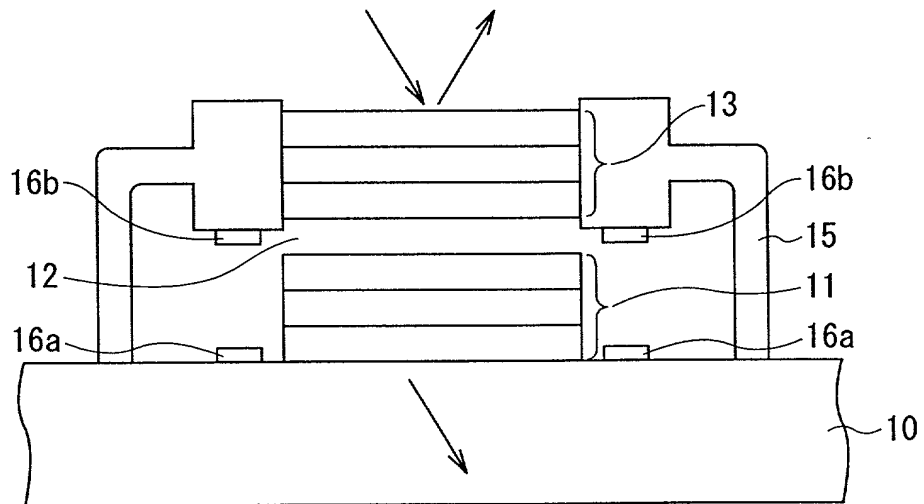


FIG. 17

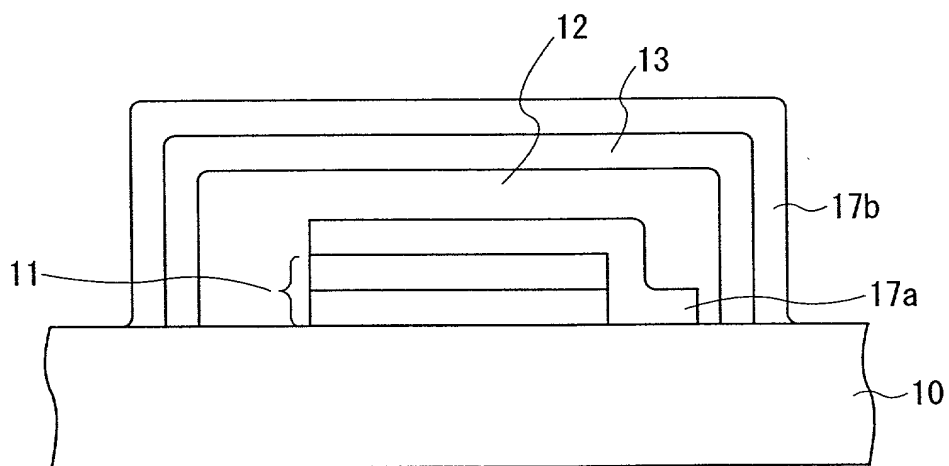


FIG. 18

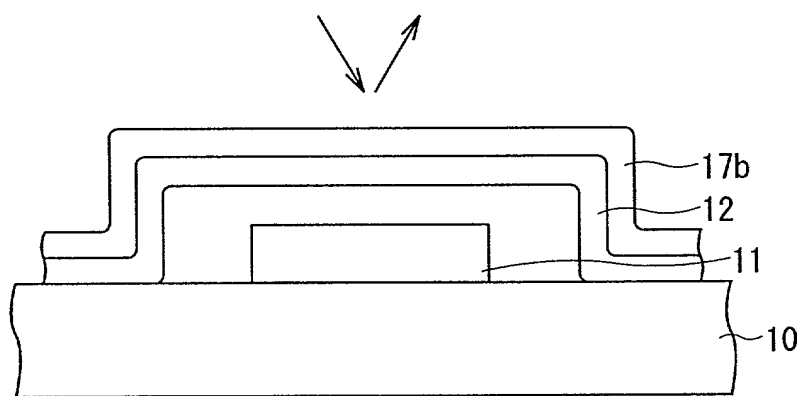


FIG. 19

FIG. 20A

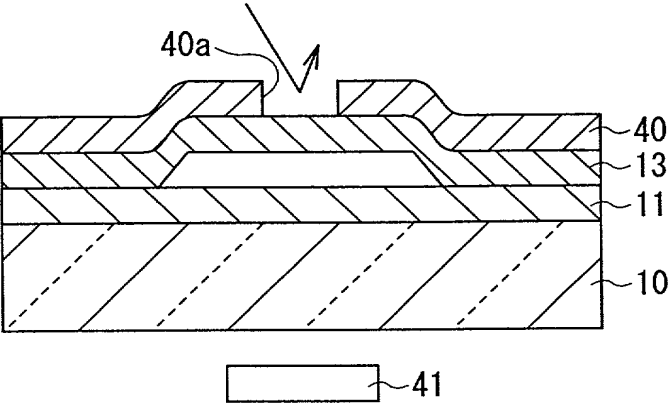
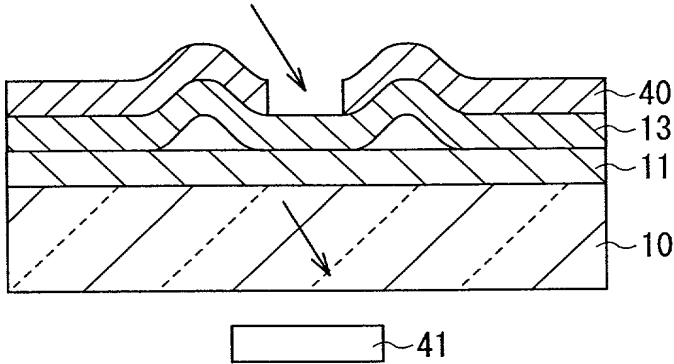


FIG. 20B



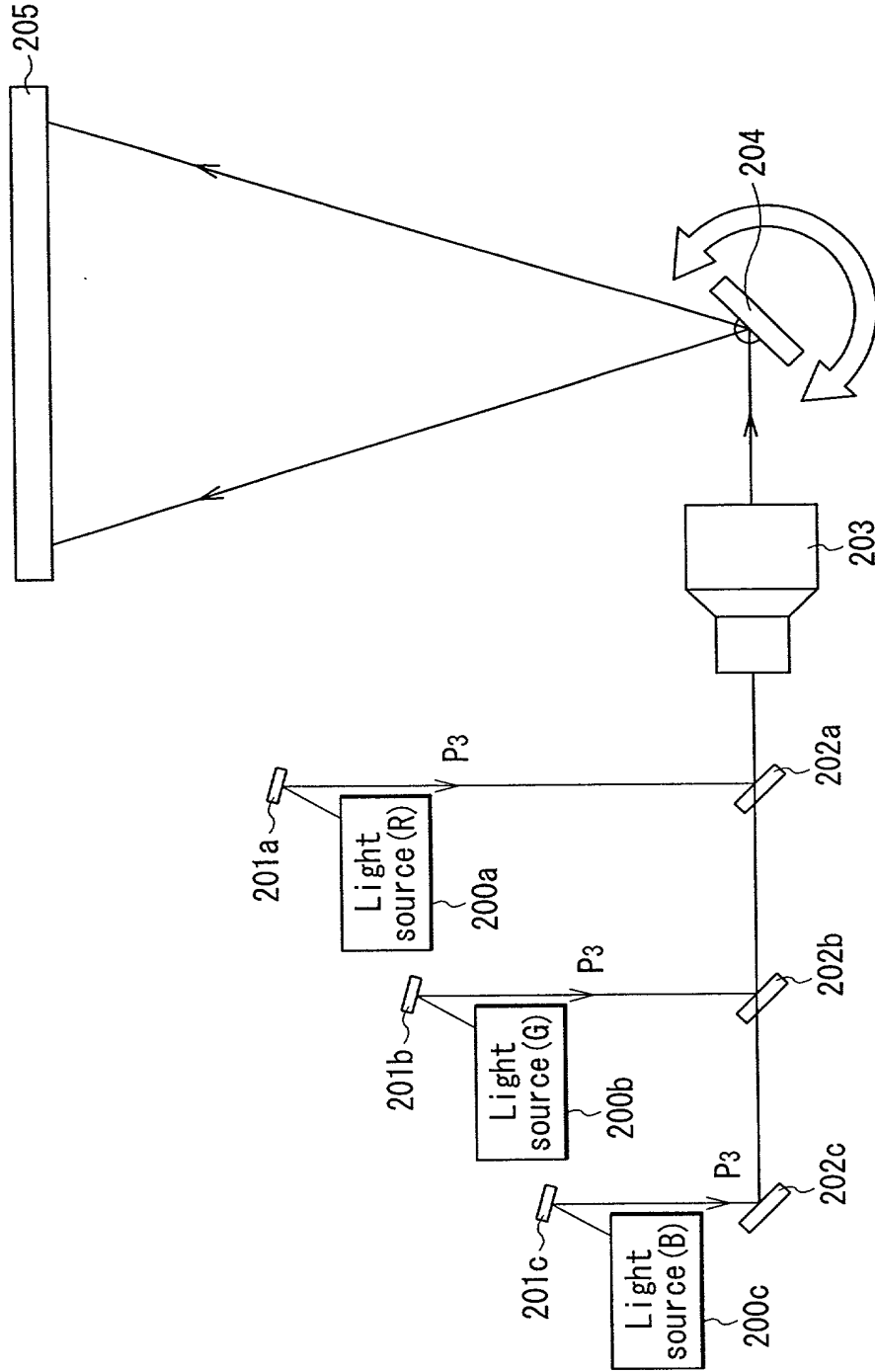


FIG. 22

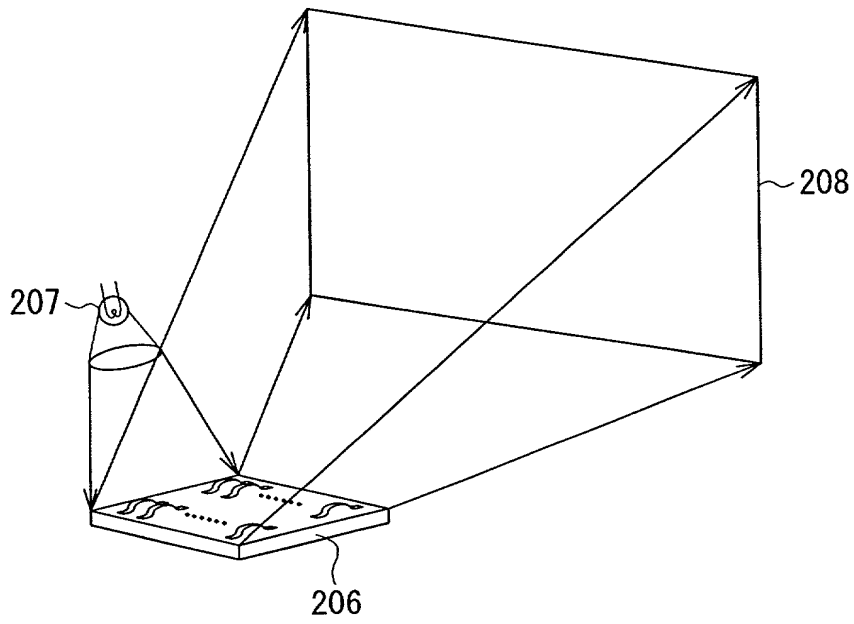


FIG. 23

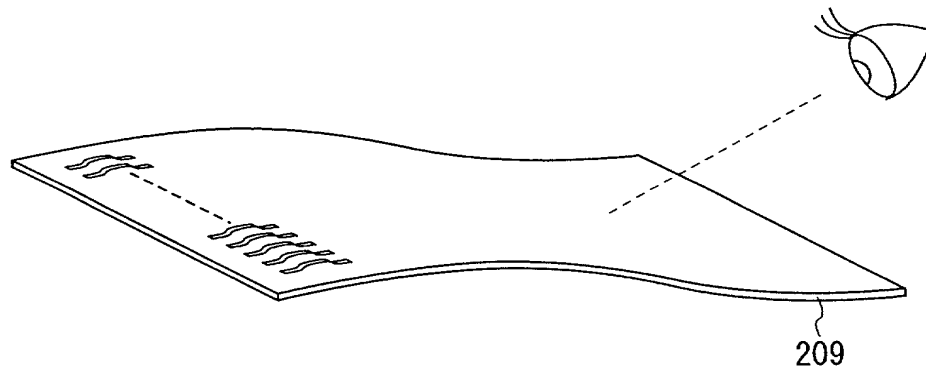


FIG. 24

09897524.020204
102020 12526860

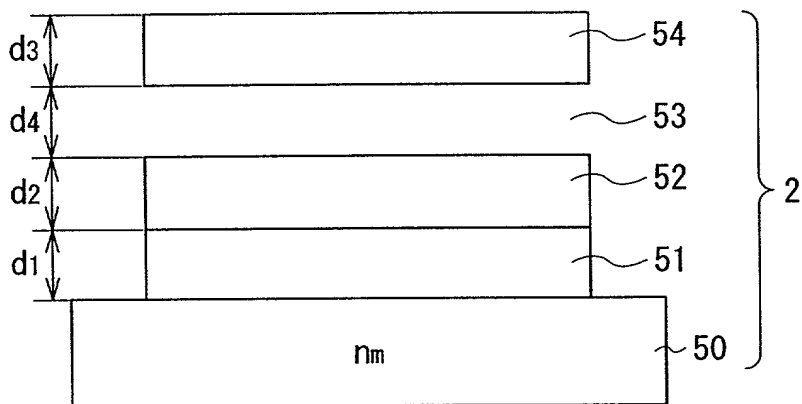


FIG. 25

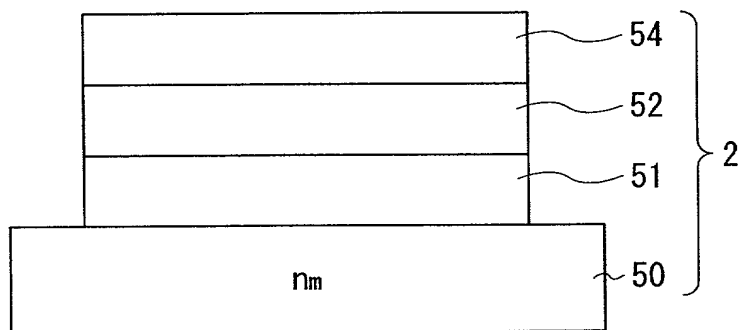


FIG. 26

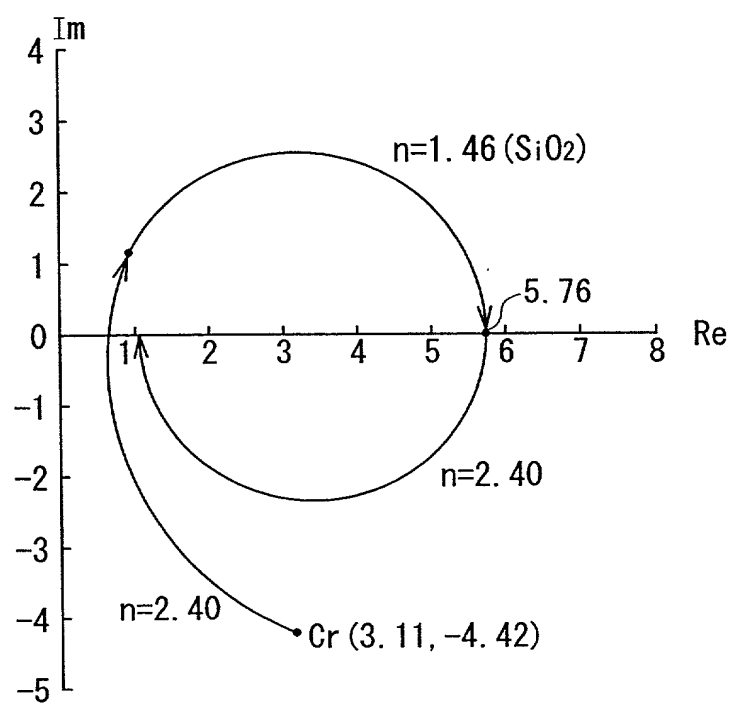


FIG. 27

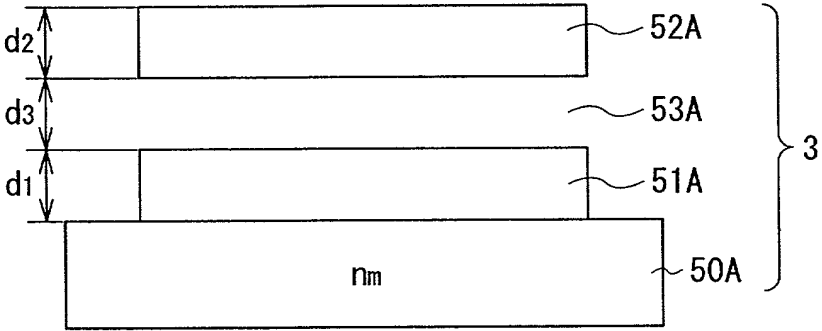


FIG. 28

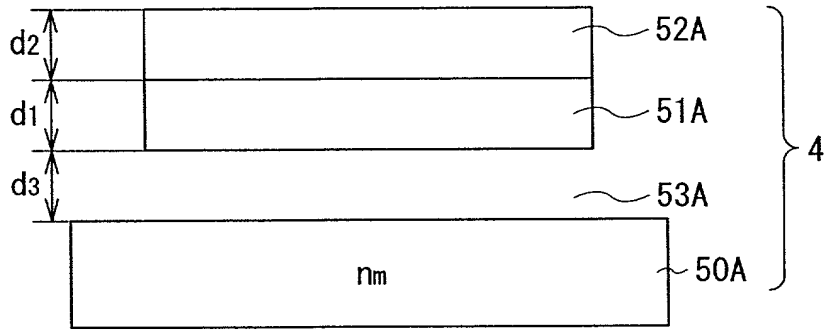


FIG. 29

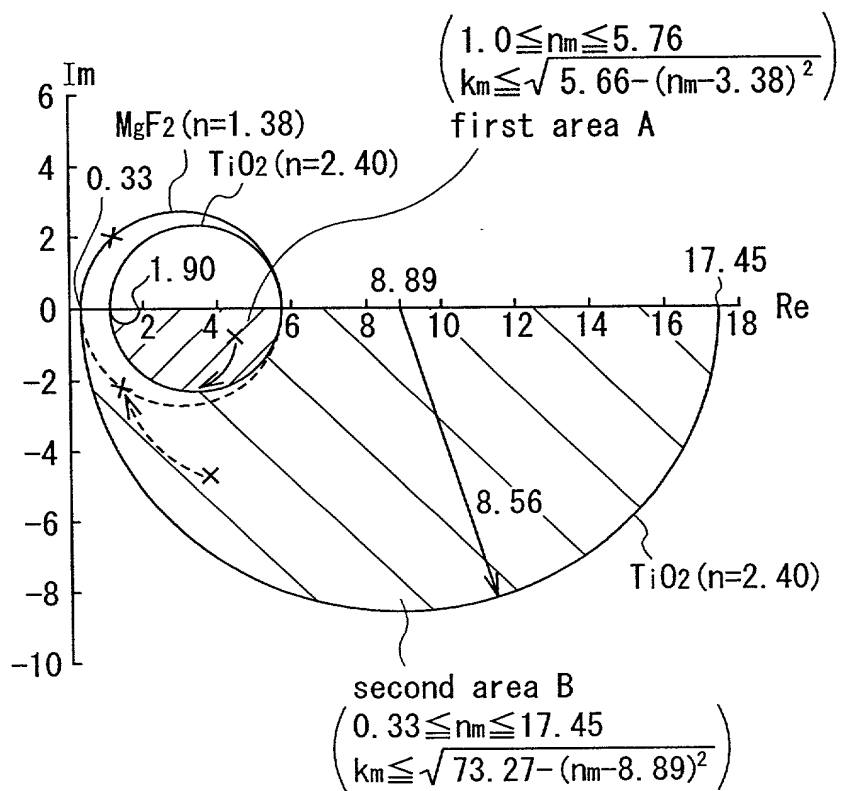


FIG. 30

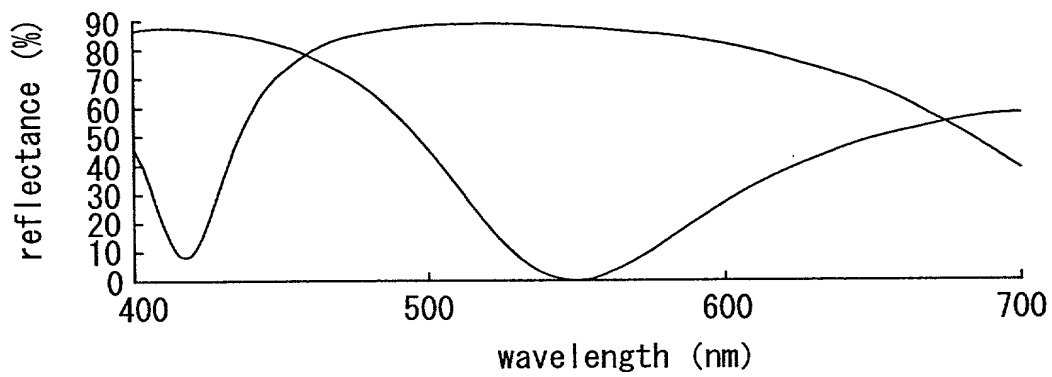


FIG. 31

FIG. 32A

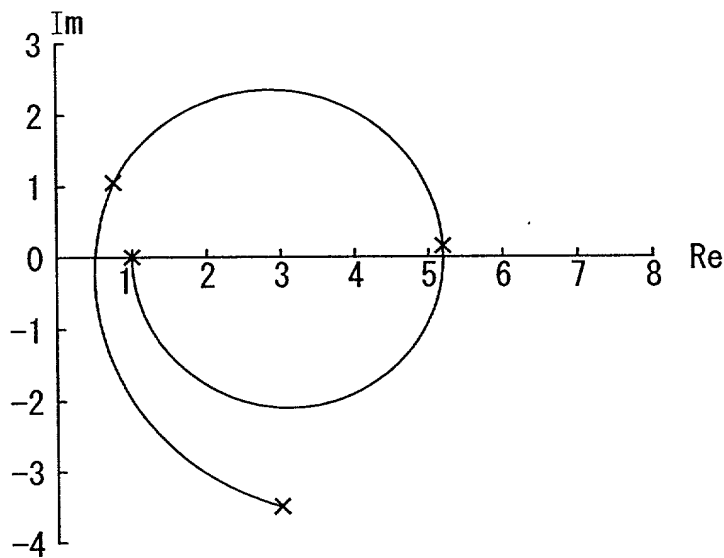
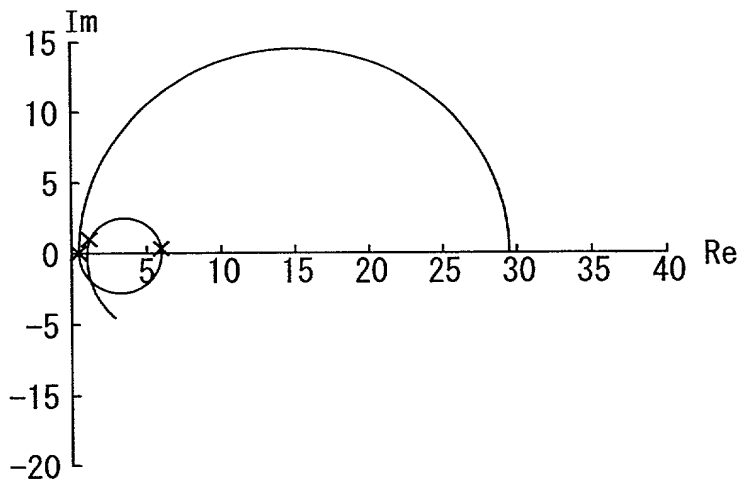


FIG. 32B



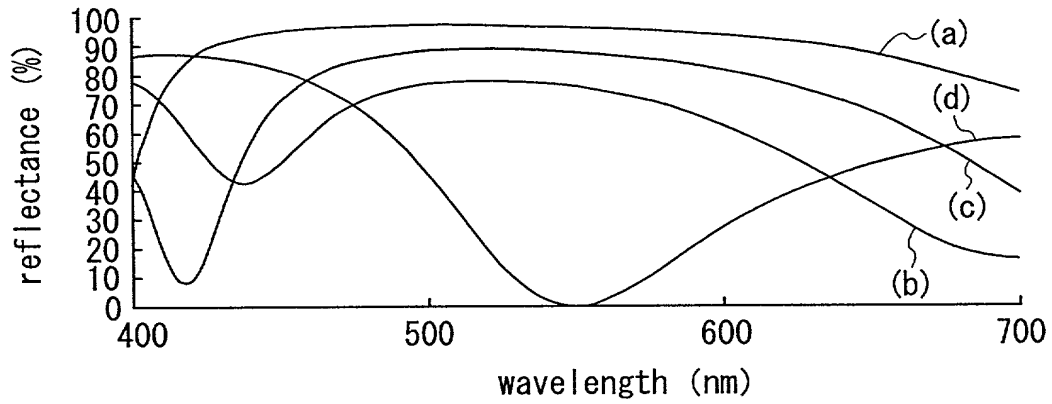


FIG. 33

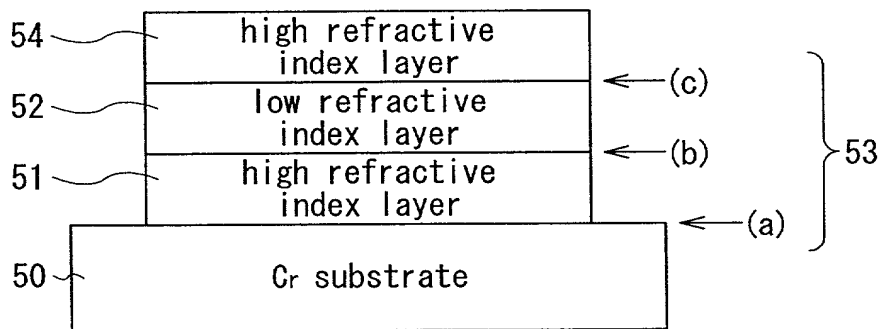


FIG. 34

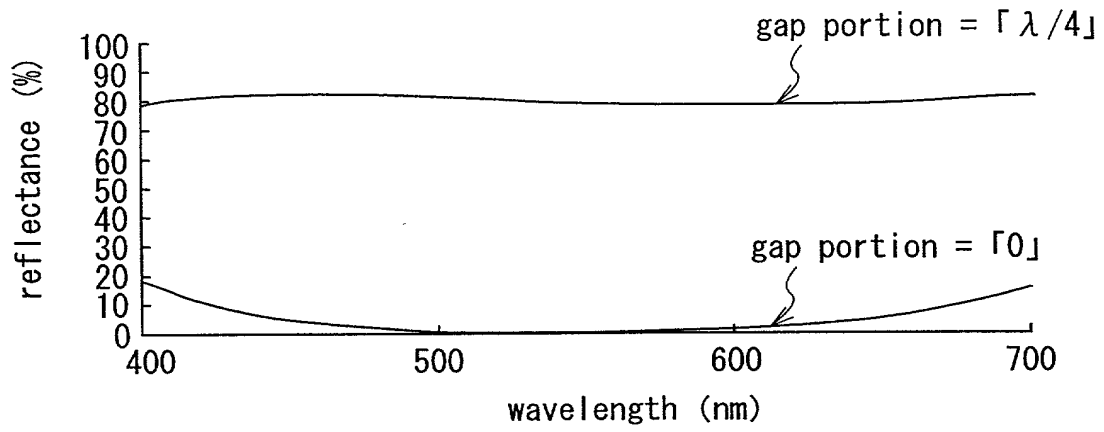


FIG. 35

FIG. 36A

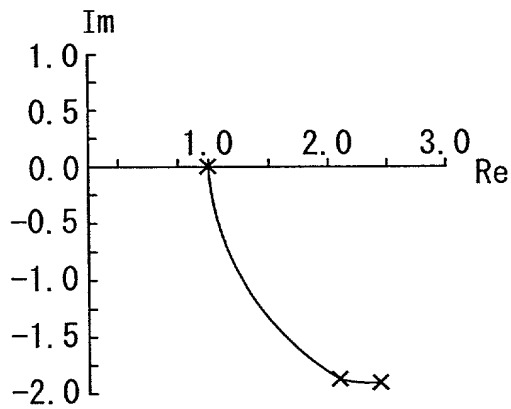
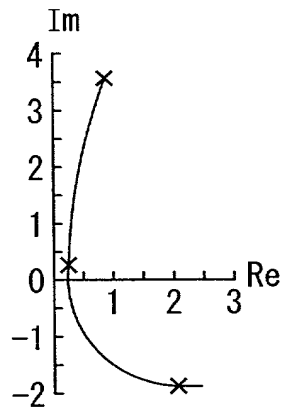


FIG. 36B



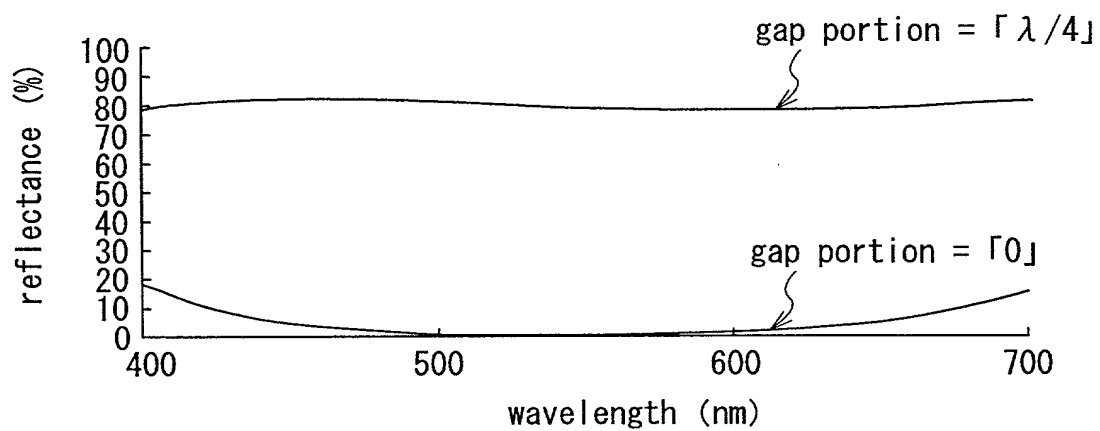


FIG. 37

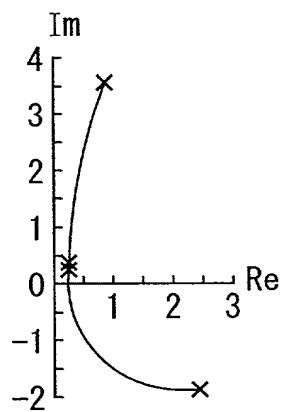


FIG. 38

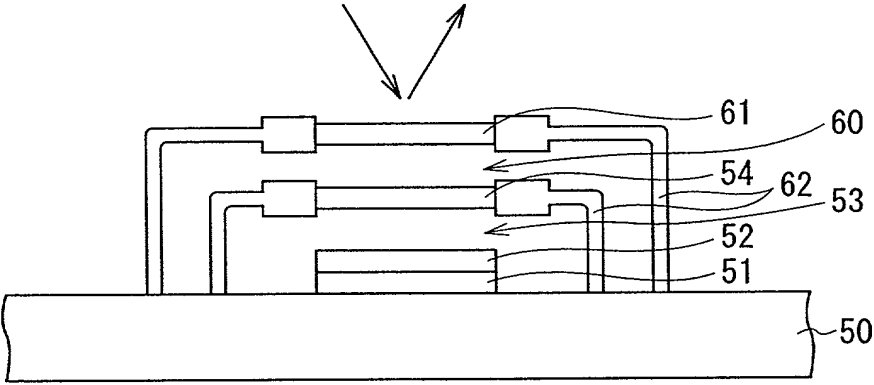


FIG. 39

008954 070204

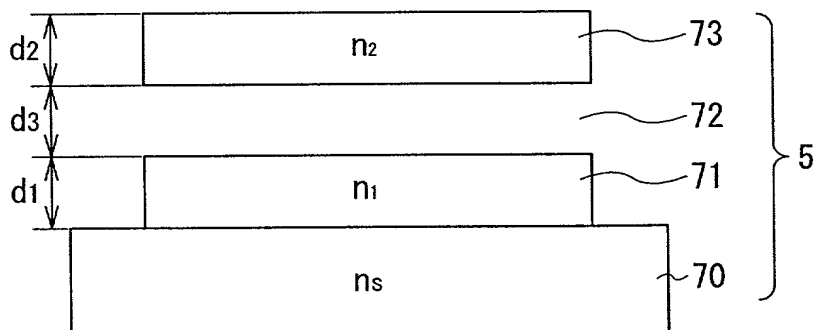


FIG. 40

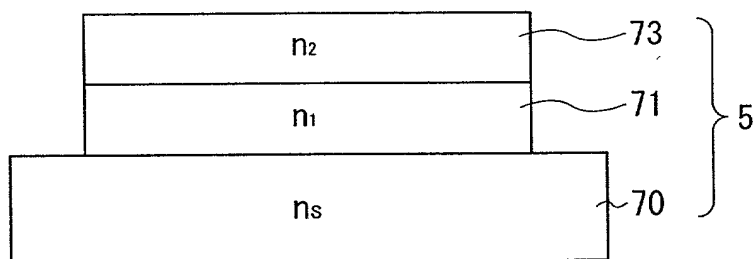


FIG. 41

FIG. 42A

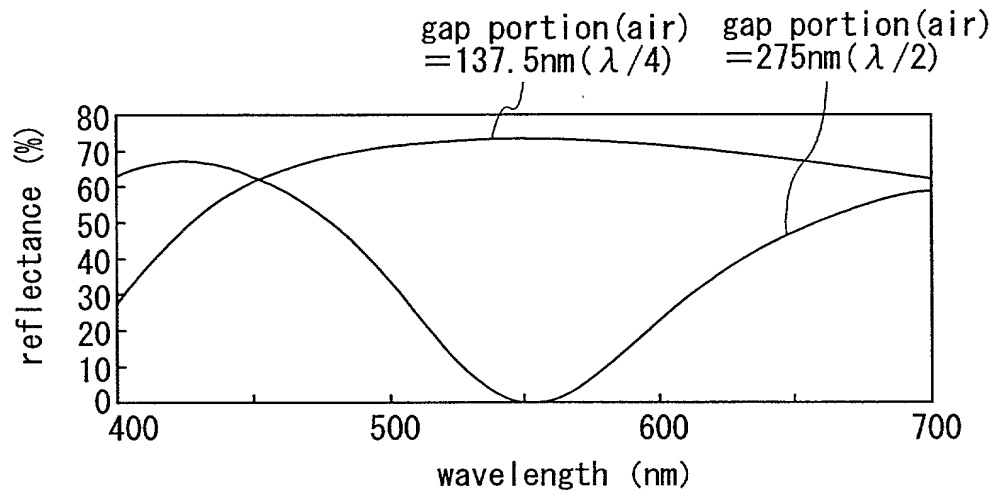


FIG. 42B

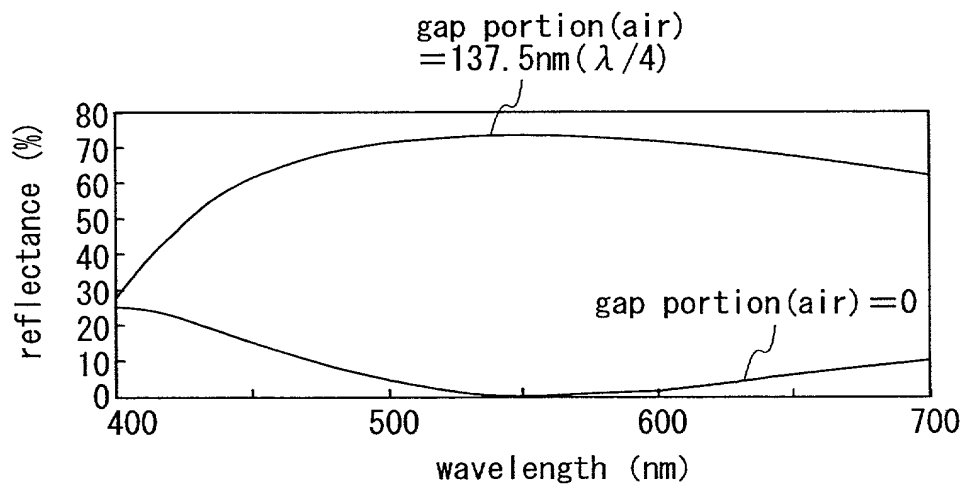


FIG. 43A

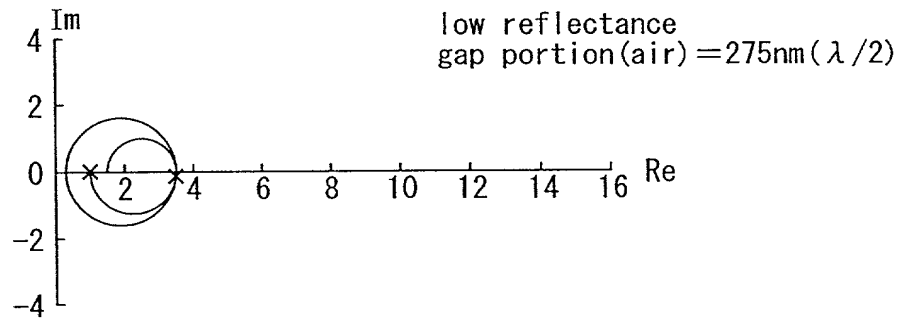


FIG. 43B

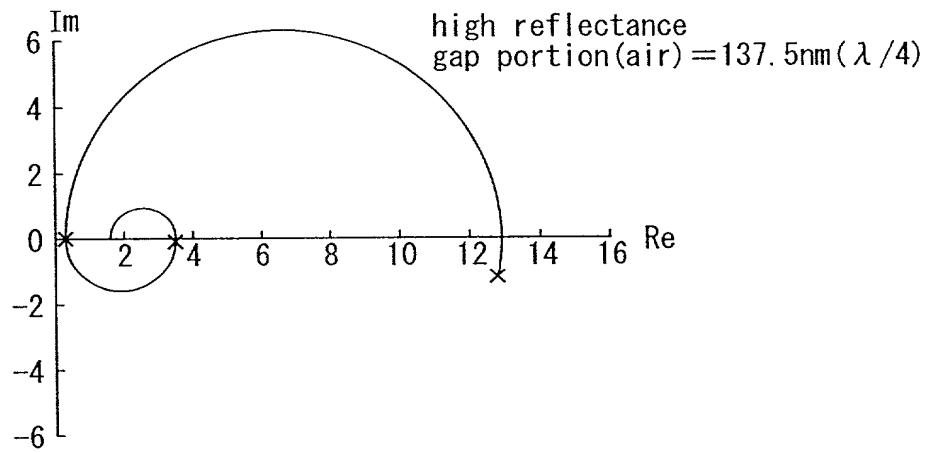
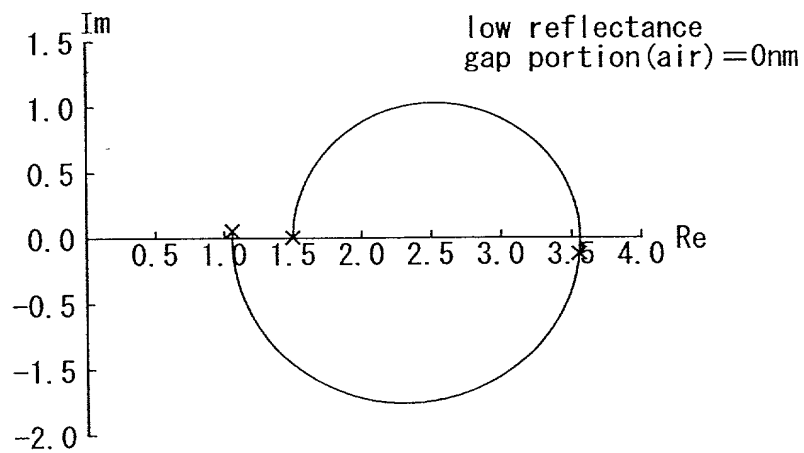


FIG. 43C



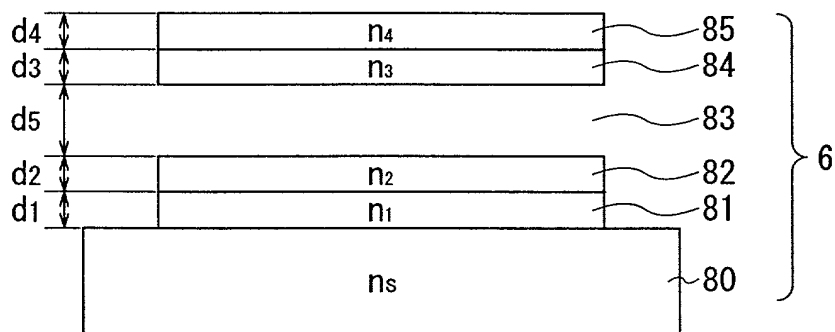


FIG. 44

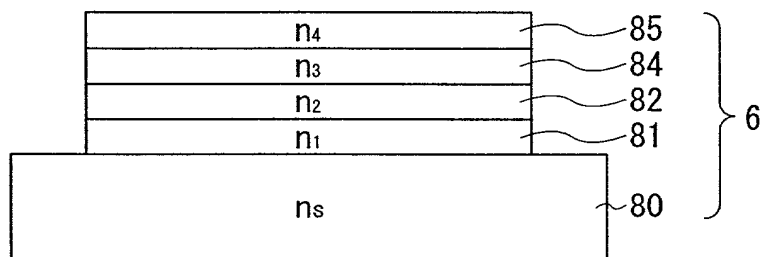


FIG. 45

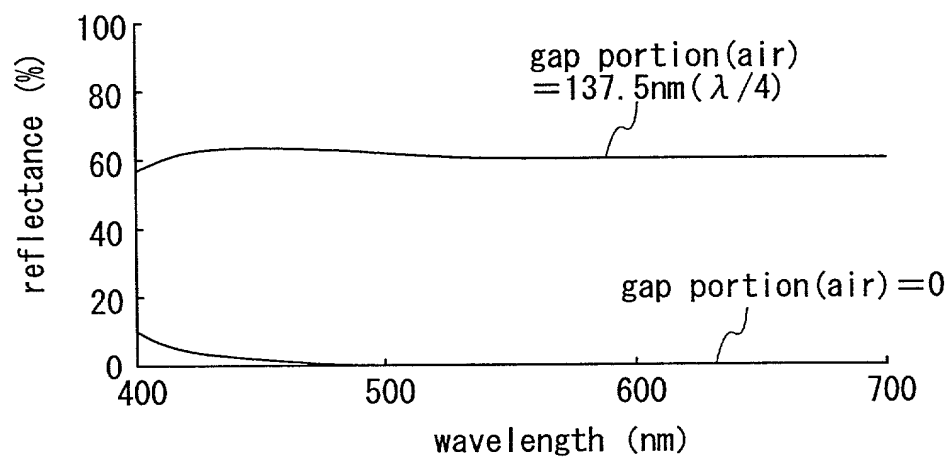


FIG. 46

FIG. 47A

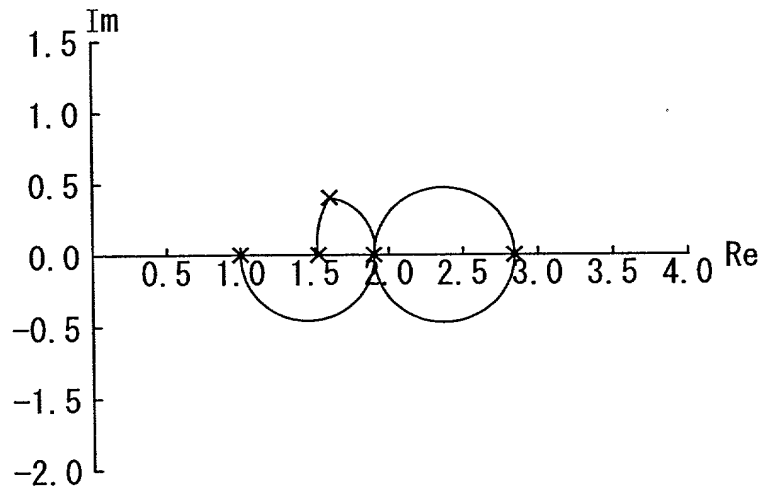
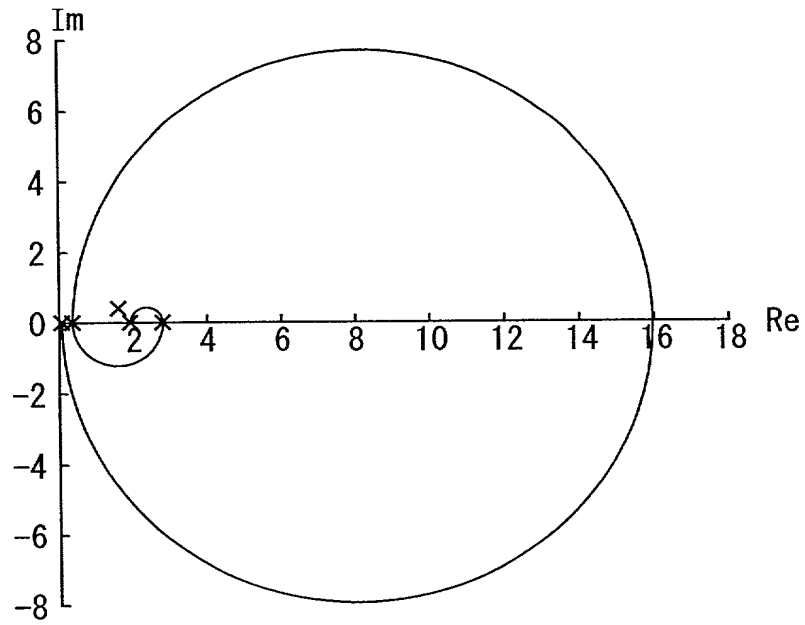


FIG. 47B



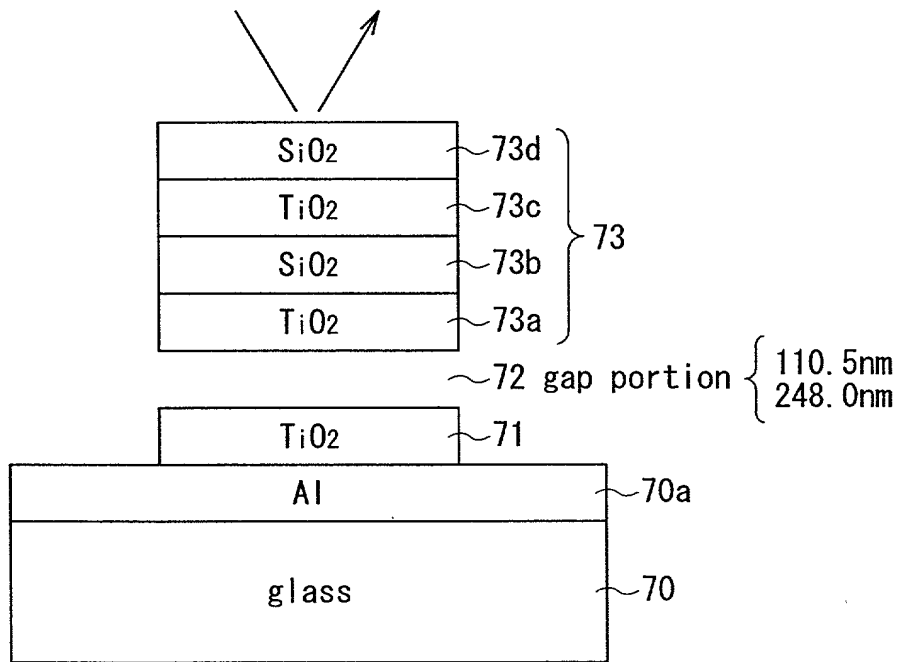


FIG. 48

Al (100nm)/TiO₂ (52.67)/gap/TiO₂ (32.29)/SiO₂ (114.72)
/TiO₂ (53.08)/SiO₂ (19.53)/air

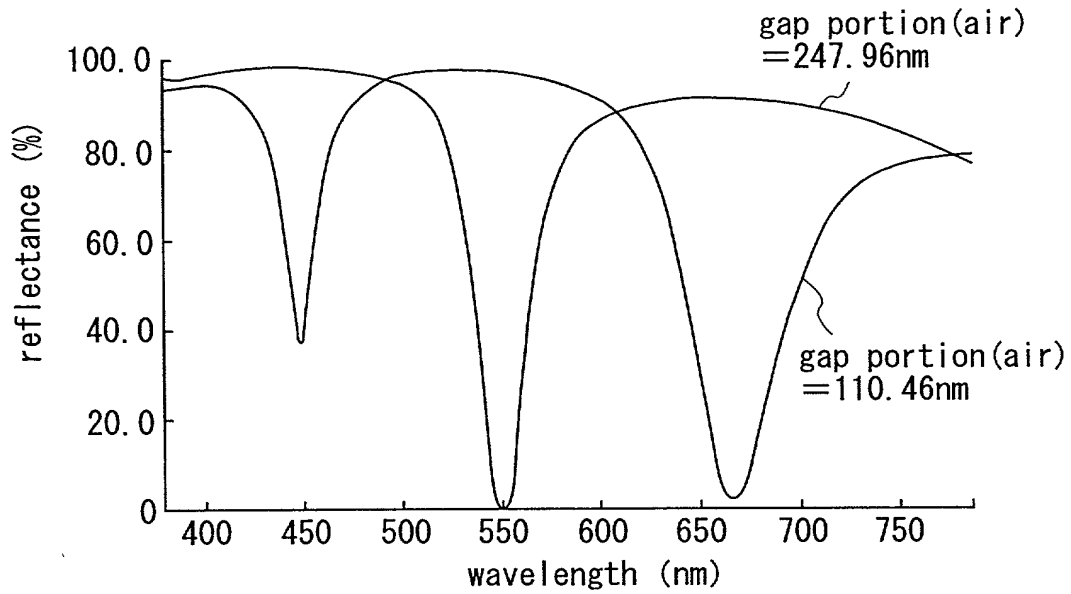


FIG. 49

Al (100nm)/TiO₂ (56.80)/SiO₂ (80.75)/TiO₂ (34.14)/gap
/TiO₂ (53.46)/SiO₂ (19.96)/air

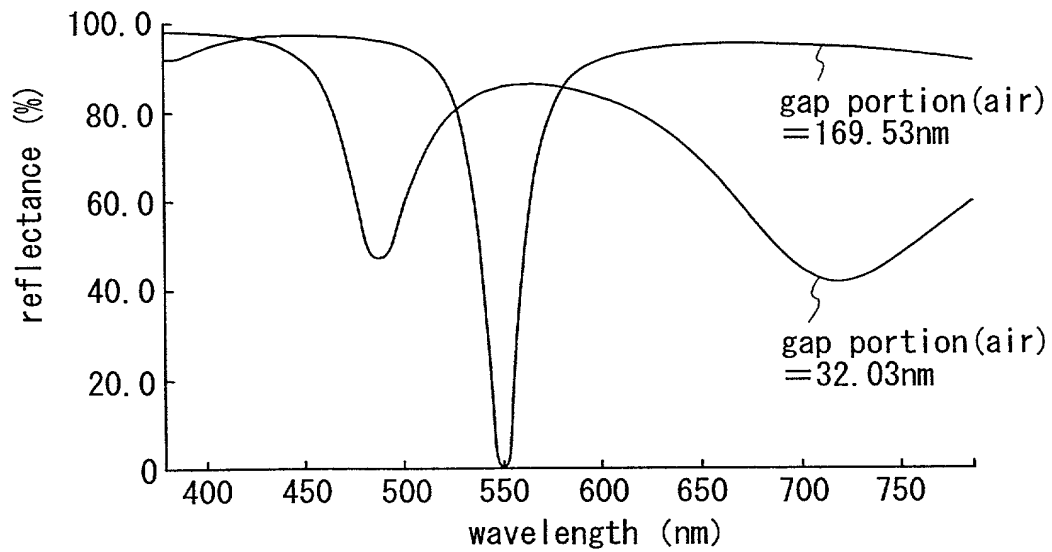


FIG. 50

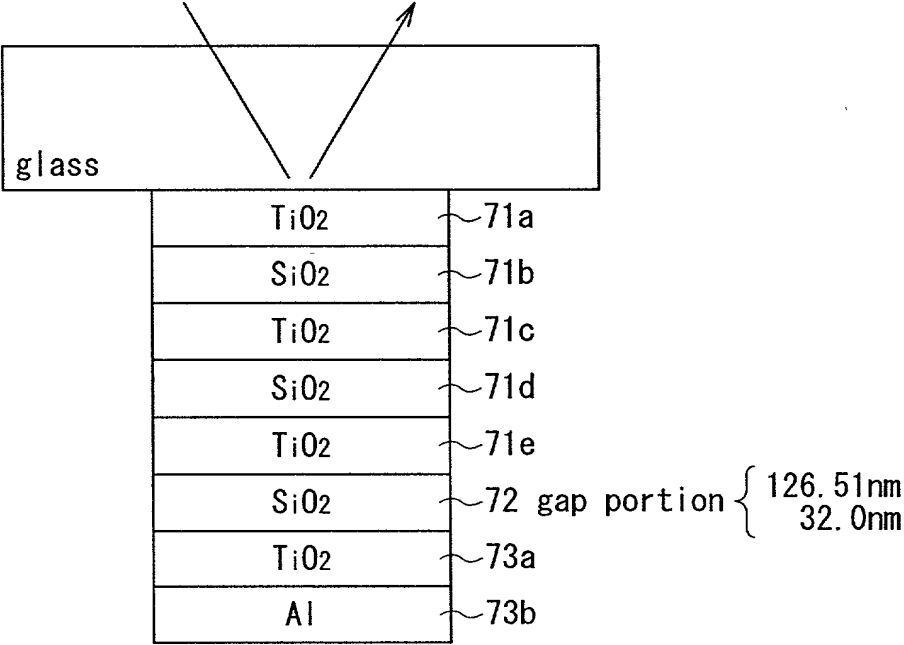


FIG. 51

glass/TiO₂(47.01)/SiO₂(99.08)/TiO₂(43.01)/SiO₂(105.30)
/TiO₂(39.18)/SiO₂(serving as gap)/TiO₂(40.70)/Al(120)/air

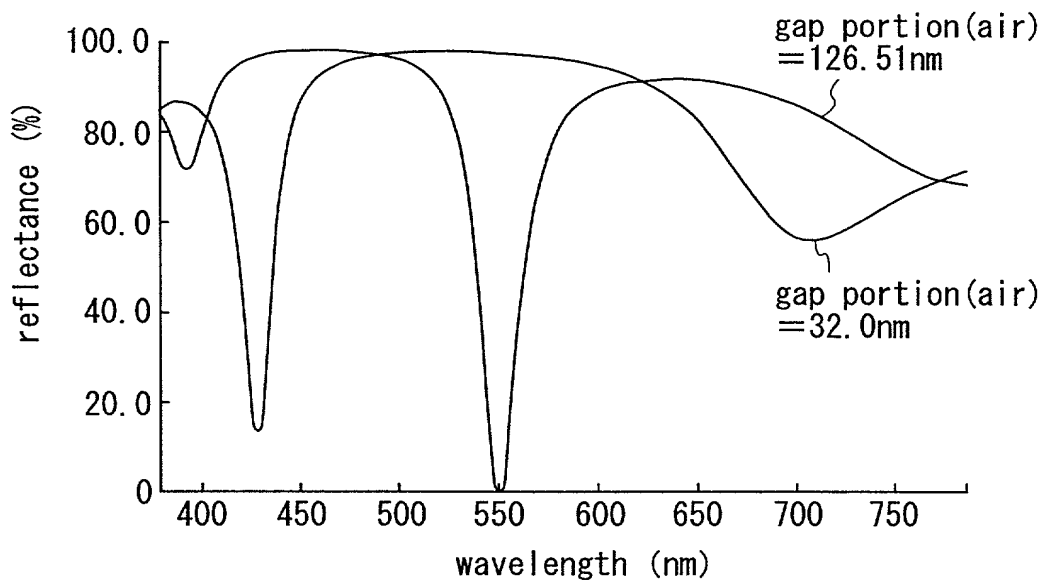


FIG. 52

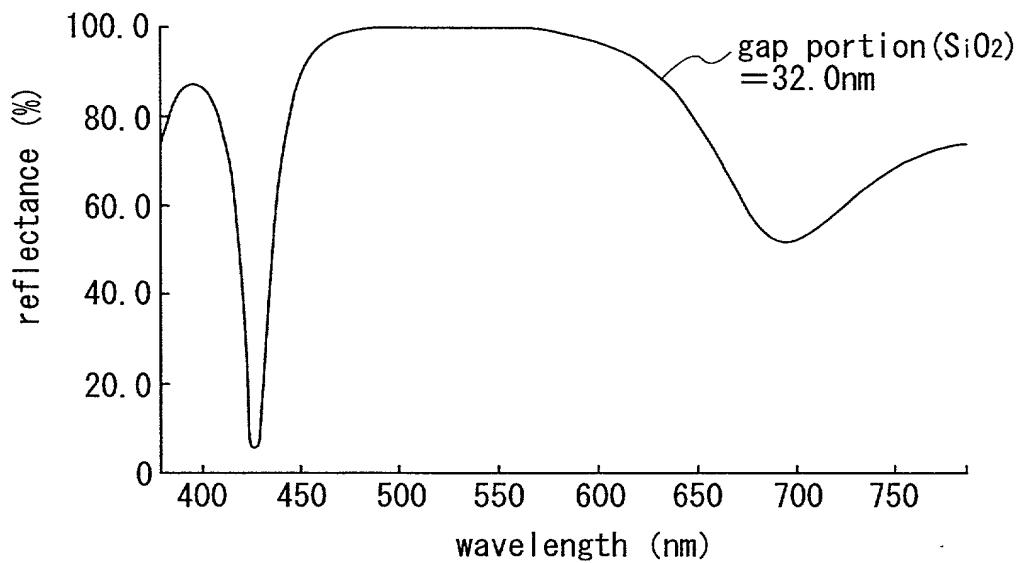


FIG. 53

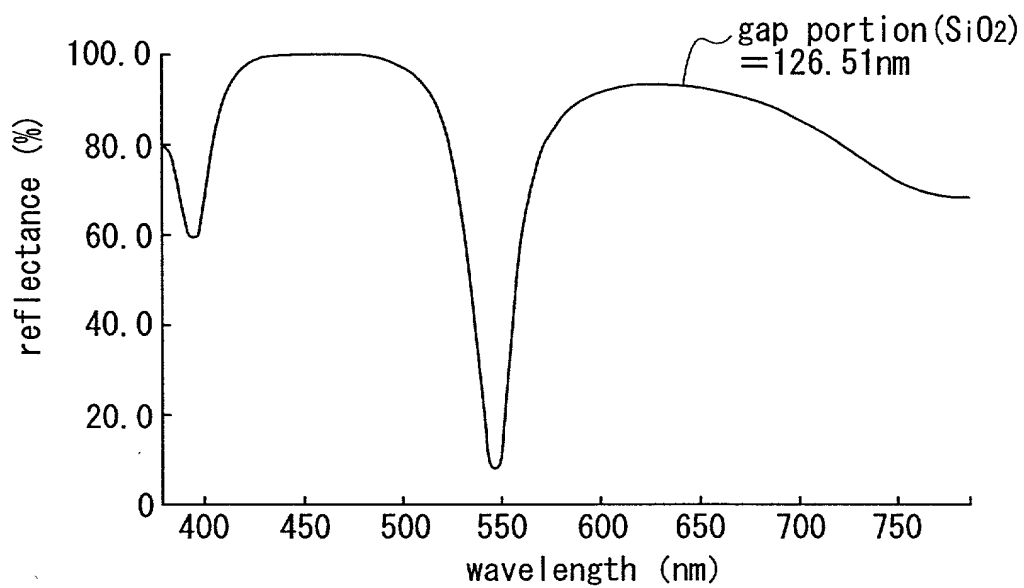


FIG. 54

Al (100nm)/TiO₂ (52.67)/gap/TiO₂ (32.29)/SiO₂ (114.72)
/TiO₂ (53.08)/SiO₂ (19.53)/air

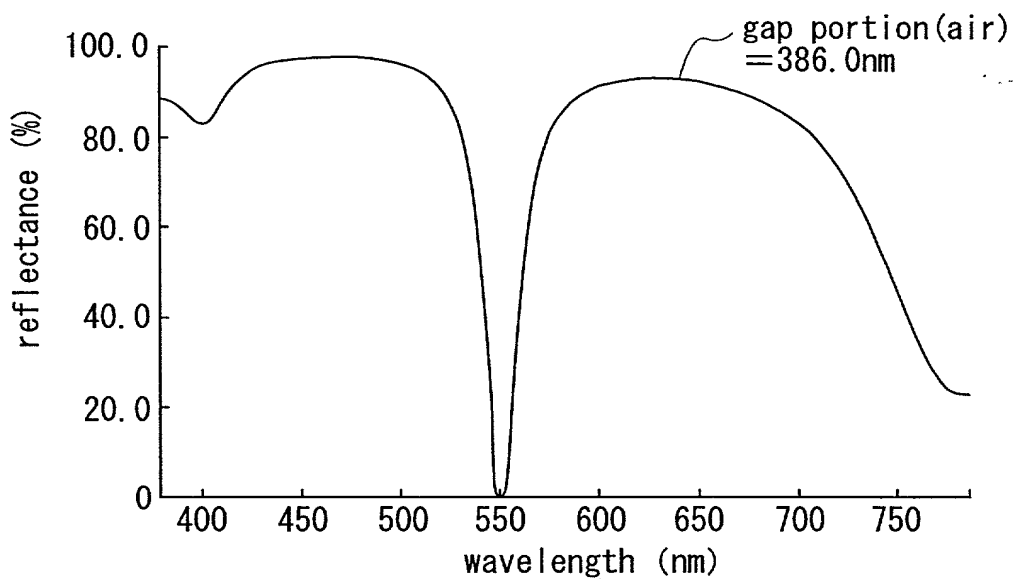


FIG. 55

Al/TiO₂ (52.67)/gap/TiO₂ (32.29)/SiO₂ (114.72)
/TiO₂ (53.08)/SiO₂ (19.53)/air

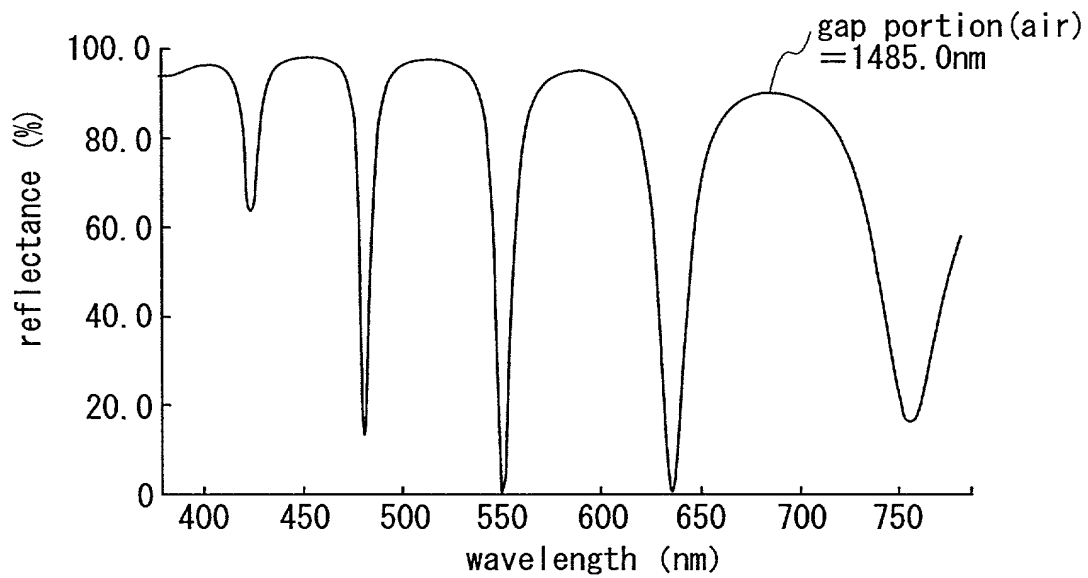


FIG. 56

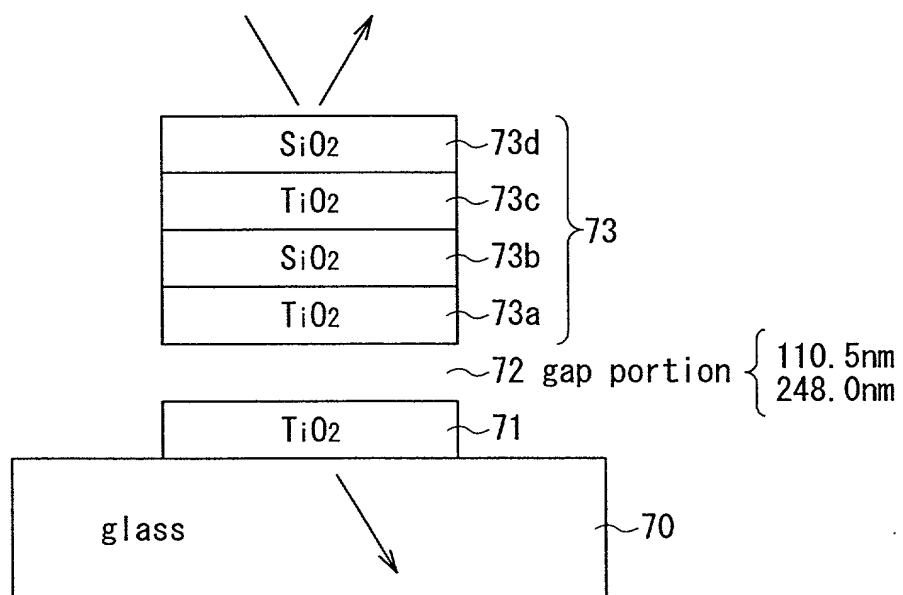


FIG. 57

glass/TiO₂ (40.89)/gap/TiO₂ (32.62)/SiO₂ (77.14)
/TiO₂ (39.40)/SiO₂ (163.13)/air

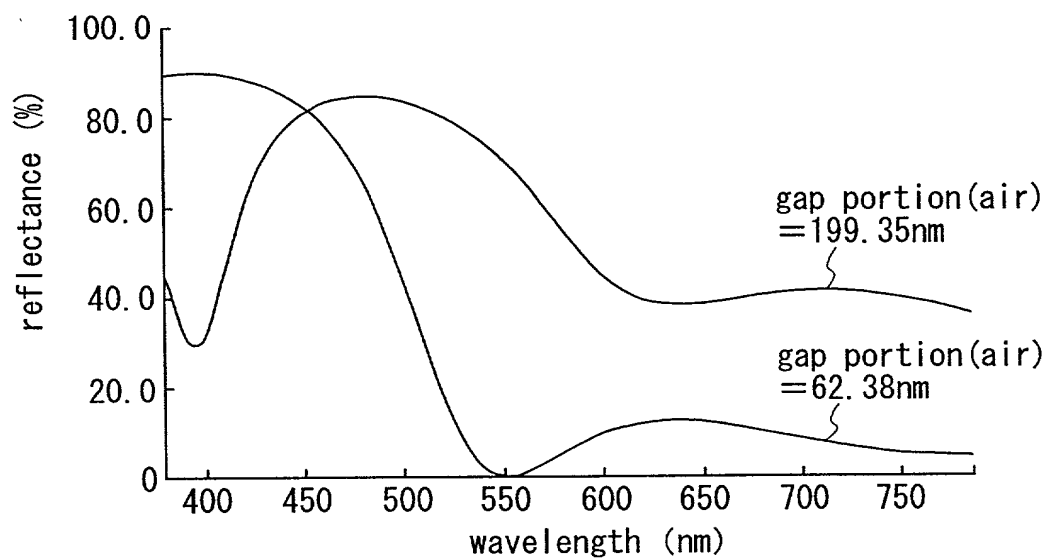


FIG. 58

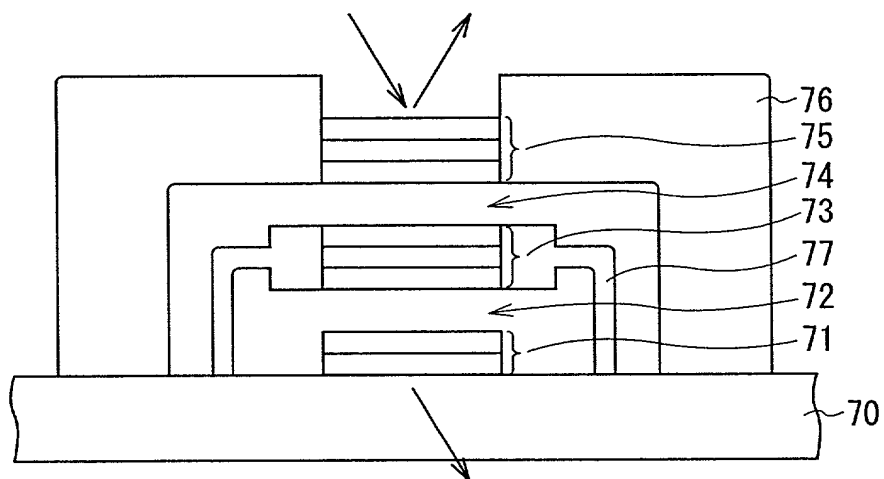


FIG. 59